

ภาคผนวก ก

ตาราง ก.1 ความสัมพันธ์ระหว่างอุณหภูมิและความต่างศักย์ของเทอร์โมคัปเปิลไทป์เค⁽⁸⁾

EMF in Absolute Millivolts											Reference Junctions at 0 C	
DEG C	0	1	2	3	4	5	6	7	8	9	10	DEG C
THERMOELECTRIC VOLTAGE IN ABSOLUTE MILLIVOLTS												
-270	-6.458											-270
-260	-6.441	-6.444	-6.446	-6.448	-6.450	-6.452	-6.453	-6.455	-6.456	-6.457	-6.458	-260
-250	-6.404	-6.408	-6.413	-6.417	-6.421	-6.425	-6.429	-6.432	-6.435	-6.438	-6.441	-250
-240	-6.344	-6.351	-6.358	-6.364	-6.371	-6.377	-6.382	-6.388	-6.394	-6.399	-6.404	-240
-230	-6.262	-6.271	-6.280	-6.289	-6.297	-6.306	-6.314	-6.322	-6.329	-6.337	-6.344	-230
-220	-6.158	-6.170	-6.181	-6.192	-6.202	-6.213	-6.223	-6.233	-6.243	-6.253	-6.262	-220
-210	-6.035	-6.048	-6.061	-6.074	-6.087	-6.099	-6.111	-6.123	-6.135	-6.147	-6.158	-210
-200	-5.891	-5.907	-5.922	-5.936	-5.951	-5.965	-5.980	-5.994	-6.007	-6.021	-6.035	-200
-190	-5.730	-5.747	-5.763	-5.780	-5.796	-5.813	-5.829	-5.845	-5.860	-5.876	-5.891	-190
-180	-5.550	-5.569	-5.587	-5.606	-5.624	-5.642	-5.660	-5.678	-5.695	-5.712	-5.730	-180
-170	-5.354	-5.374	-5.394	-5.414	-5.434	-5.454	-5.474	-5.493	-5.512	-5.531	-5.550	-170
-160	-5.141	-5.163	-5.185	-5.207	-5.228	-5.249	-5.271	-5.292	-5.313	-5.333	-5.354	-160
-150	-4.912	-4.936	-4.959	-4.983	-5.006	-5.029	-5.051	-5.074	-5.097	-5.119	-5.141	-150
-140	-4.669	-4.694	-4.719	-4.743	-4.768	-4.792	-4.817	-4.841	-4.865	-4.889	-4.912	-140
-130	-4.410	-4.437	-4.463	-4.489	-4.515	-4.541	-4.567	-4.593	-4.618	-4.644	-4.669	-130
-120	-4.138	-4.166	-4.193	-4.221	-4.248	-4.276	-4.303	-4.330	-4.357	-4.384	-4.410	-120
-110	-3.852	-3.881	-3.910	-3.939	-3.968	-3.997	-4.025	-4.053	-4.082	-4.110	-4.138	-110
-100	-3.553	-3.584	-3.614	-3.644	-3.674	-3.704	-3.734	-3.764	-3.793	-3.823	-3.852	-100
-90	-3.242	-3.274	-3.305	-3.337	-3.368	-3.399	-3.430	-3.461	-3.492	-3.523	-3.553	-90
-80	-2.920	-2.953	-2.985	-3.018	-3.050	-3.082	-3.115	-3.147	-3.179	-3.211	-3.242	-80
-70	-2.586	-2.620	-2.654	-2.687	-2.721	-2.754	-2.788	-2.821	-2.854	-2.887	-2.920	-70
-60	-2.243	-2.277	-2.312	-2.347	-2.381	-2.416	-2.450	-2.484	-2.518	-2.552	-2.586	-60
-50	-1.889	-1.925	-1.961	-1.996	-2.032	-2.067	-2.102	-2.137	-2.173	-2.208	-2.243	-50
-40	-1.527	-1.563	-1.600	-1.636	-1.673	-1.709	-1.745	-1.781	-1.817	-1.853	-1.889	-40
-30	-1.156	-1.193	-1.231	-1.268	-1.305	-1.342	-1.379	-1.416	-1.453	-1.490	-1.527	-30
-20	-0.777	-0.816	-0.854	-0.892	-0.930	-0.968	-1.005	-1.043	-1.081	-1.118	-1.156	-20
-10	-0.392	-0.431	-0.469	-0.508	-0.547	-0.585	-0.624	-0.662	-0.701	-0.739	-0.777	-10
0	0.000	0.039	0.079	0.118	0.157	0.197	0.236	0.275	0.314	0.353	0.392	0
0	0.000	0.039	0.079	0.119	0.158	0.198	0.238	0.277	0.317	0.357	0.397	0
10	0.397	0.437	0.477	0.517	0.557	0.597	0.637	0.677	0.718	0.758	0.798	10
20	0.798	0.838	0.879	0.919	0.960	1.000	1.041	1.081	1.122	1.162	1.203	20
30	1.203	1.244	1.285	1.325	1.366	1.407	1.448	1.489	1.529	1.570	1.611	30
40	1.611	1.652	1.693	1.734	1.776	1.817	1.858	1.899	1.940	1.981	2.022	40
50	2.022	2.064	2.105	2.146	2.188	2.229	2.270	2.312	2.353	2.394	2.436	50
60	2.436	2.477	2.519	2.560	2.601	2.643	2.684	2.726	2.767	2.809	2.850	60
70	2.850	2.892	2.933	2.975	3.016	3.058	3.100	3.141	3.183	3.224	3.266	70
80	3.266	3.307	3.349	3.390	3.432	3.473	3.515	3.556	3.598	3.639	3.681	80
90	3.681	3.722	3.764	3.805	3.847	3.888	3.930	3.971	4.012	4.054	4.095	90
100	4.095	4.137	4.178	4.219	4.261	4.302	4.343	4.384	4.426	4.467	4.508	100
110	4.508	4.549	4.590	4.632	4.673	4.714	4.755	4.796	4.837	4.878	4.919	110
120	4.919	4.960	5.001	5.042	5.083	5.124	5.164	5.205	5.246	5.287	5.327	120
130	5.327	5.368	5.409	5.450	5.490	5.531	5.571	5.612	5.652	5.693	5.733	130
140	5.733	5.774	5.814	5.855	5.895	5.936	5.976	6.016	6.057	6.097	6.137	140
150	6.137	6.177	6.218	6.258	6.298	6.338	6.378	6.419	6.459	6.499	6.539	150
160	6.539	6.579	6.619	6.659	6.699	6.739	6.779	6.819	6.859	6.899	6.939	160
170	6.939	6.979	7.019	7.059	7.099	7.139	7.179	7.219	7.259	7.299	7.338	170
180	7.338	7.378	7.418	7.458	7.498	7.538	7.578	7.618	7.658	7.697	7.737	180
190	7.737	7.777	7.817	7.857	7.897	7.937	7.977	8.017	8.057	8.097	8.137	190
200	8.137	8.177	8.216	8.256	8.296	8.336	8.376	8.416	8.456	8.497	8.537	200
210	8.537	8.577	8.617	8.657	8.697	8.737	8.777	8.817	8.857	8.898	8.938	210
220	8.938	8.978	9.018	9.058	9.099	9.139	9.179	9.220	9.260	9.300	9.341	220
230	9.341	9.381	9.421	9.462	9.502	9.543	9.583	9.624	9.664	9.705	9.745	230
240	9.745	9.786	9.826	9.867	9.907	9.948	9.989	10.029	10.070	10.111	10.151	240
250	10.151	10.192	10.233	10.274	10.315	10.355	10.396	10.437	10.478	10.519	10.560	250
260	10.560	10.600	10.641	10.682	10.723	10.764	10.805	10.846	10.887	10.928	10.969	260
270	10.969	11.010	11.051	11.093	11.134	11.175	11.216	11.257	11.298	11.339	11.381	270
280	11.381	11.422	11.463	11.504	11.546	11.587	11.628	11.669	11.711	11.752	11.793	280
290	11.793	11.835	11.876	11.918	11.959	12.000	12.042	12.083	12.125	12.166	12.207	290
300	12.207	12.249	12.290	12.332	12.373	12.415	12.456	12.498	12.539	12.581	12.623	300
310	12.623	12.664	12.706	12.747	12.789	12.831	12.872	12.914	12.955	12.997	13.039	310
320	13.039	13.080	13.122	13.164	13.205	13.247	13.289	13.331	13.372	13.414	13.456	320
330	13.456	13.497	13.539	13.581	13.623	13.665	13.706	13.748	13.790	13.832	13.874	330
340	13.874	13.915	13.957	13.999	14.041	14.083	14.125	14.167	14.208	14.250	14.292	340
DEG C	0	1	2	3	4	5	6	7	8	9	10	DEG C

ตาราง ก.1 (ต่อ)

EMF in Absolute Millivolts

Reference Junctions at 0 C

DEG C	0	1	2	3	4	5	6	7	8	9	10	DEG C
THERMOELECTRIC VOLTAGE IN ABSOLUTE MILLIVOLTS												
350	14.292	14.334	14.376	14.418	14.460	14.502	14.544	14.586	14.628	14.670	14.712	350
360	14.712	14.754	14.796	14.838	14.880	14.922	14.964	15.006	15.048	15.090	15.132	360
370	15.132	15.174	15.216	15.258	15.300	15.342	15.384	15.426	15.468	15.510	15.552	370
380	15.552	15.594	15.636	15.679	15.721	15.763	15.805	15.847	15.889	15.931	15.974	380
390	15.974	16.016	16.058	16.100	16.142	16.184	16.227	16.269	16.311	16.353	16.395	390
400	16.395	16.438	16.480	16.522	16.564	16.607	16.649	16.691	16.733	16.776	16.818	400
410	16.818	16.860	16.902	16.945	16.987	17.029	17.072	17.114	17.156	17.199	17.241	410
420	17.241	17.283	17.326	17.368	17.410	17.453	17.495	17.537	17.580	17.622	17.664	420
430	17.664	17.707	17.749	17.792	17.834	17.876	17.919	17.961	18.004	18.046	18.088	430
440	18.088	18.131	18.173	18.216	18.258	18.301	18.343	18.385	18.428	18.470	18.513	440
450	18.513	18.555	18.598	18.640	18.683	18.725	18.768	18.810	18.853	18.895	18.938	450
460	18.938	18.980	19.023	19.065	19.108	19.150	19.193	19.235	19.278	19.320	19.363	460
470	19.363	19.405	19.448	19.490	19.533	19.576	19.618	19.661	19.703	19.746	19.788	470
480	19.788	19.831	19.873	19.916	19.959	20.001	20.044	20.086	20.129	20.172	20.214	480
490	20.214	20.257	20.299	20.342	20.385	20.427	20.470	20.512	20.555	20.598	20.640	490
500	20.640	20.683	20.725	20.768	20.811	20.853	20.896	20.938	20.981	21.024	21.066	500
510	21.066	21.109	21.152	21.194	21.237	21.280	21.322	21.365	21.407	21.450	21.493	510
520	21.493	21.535	21.578	21.621	21.663	21.706	21.749	21.791	21.834	21.876	21.919	520
530	21.919	21.962	22.004	22.047	22.090	22.132	22.175	22.218	22.260	22.303	22.346	530
540	22.346	22.388	22.431	22.473	22.516	22.559	22.601	22.644	22.687	22.729	22.772	540
550	22.772	22.815	22.857	22.900	22.942	22.985	23.028	23.070	23.113	23.156	23.198	550
560	23.198	23.241	23.284	23.326	23.369	23.411	23.454	23.497	23.539	23.582	23.624	560
570	23.624	23.667	23.710	23.752	23.795	23.837	23.880	23.923	23.965	24.008	24.050	570
580	24.050	24.093	24.136	24.178	24.221	24.263	24.306	24.348	24.391	24.434	24.476	580
590	24.476	24.519	24.561	24.604	24.646	24.689	24.731	24.774	24.817	24.859	24.902	590
600	24.902	24.944	24.987	25.029	25.072	25.114	25.157	25.199	25.242	25.284	25.327	600
610	25.327	25.369	25.412	25.454	25.497	25.539	25.582	25.624	25.666	25.709	25.751	610
620	25.751	25.794	25.836	25.879	25.921	25.964	26.006	26.048	26.091	26.133	26.176	620
630	26.176	26.218	26.260	26.303	26.345	26.387	26.430	26.472	26.515	26.557	26.599	630
640	26.599	26.642	26.684	26.726	26.769	26.811	26.853	26.896	26.938	26.980	27.022	640
650	27.022	27.065	27.107	27.149	27.192	27.234	27.276	27.318	27.361	27.403	27.445	650
660	27.445	27.487	27.529	27.572	27.614	27.656	27.698	27.740	27.783	27.825	27.867	660
670	27.867	27.909	27.951	27.993	28.035	28.078	28.120	28.162	28.204	28.246	28.288	670
680	28.288	28.330	28.372	28.414	28.456	28.498	28.540	28.583	28.625	28.667	28.709	680
690	28.709	28.751	28.793	28.835	28.877	28.919	28.961	29.002	29.044	29.086	29.128	690
700	29.128	29.170	29.212	29.254	29.296	29.338	29.380	29.422	29.464	29.505	29.547	700
710	29.547	29.589	29.631	29.673	29.715	29.756	29.798	29.840	29.882	29.924	29.965	710
720	29.965	30.007	30.049	30.091	30.132	30.174	30.216	30.257	30.299	30.341	30.383	720
730	30.383	30.424	30.466	30.508	30.549	30.591	30.632	30.674	30.716	30.757	30.799	730
740	30.799	30.840	30.882	30.924	30.965	31.007	31.048	31.090	31.131	31.173	31.214	740
750	31.214	31.256	31.297	31.339	31.380	31.422	31.463	31.504	31.546	31.587	31.629	750
760	31.629	31.670	31.712	31.753	31.794	31.836	31.877	31.918	31.960	32.001	32.042	760
770	32.042	32.084	32.125	32.166	32.207	32.249	32.290	32.331	32.372	32.414	32.455	770
780	32.455	32.496	32.537	32.578	32.619	32.661	32.702	32.743	32.784	32.825	32.866	780
790	32.866	32.907	32.948	32.990	33.031	33.072	33.113	33.154	33.195	33.236	33.277	790
800	33.277	33.318	33.359	33.400	33.441	33.482	33.523	33.564	33.604	33.645	33.686	800
810	33.686	33.727	33.768	33.809	33.850	33.891	33.931	33.972	34.013	34.054	34.095	810
820	34.095	34.136	34.176	34.217	34.258	34.299	34.339	34.380	34.421	34.461	34.502	820
830	34.502	34.543	34.583	34.624	34.665	34.705	34.746	34.787	34.827	34.868	34.909	830
840	34.909	34.949	34.990	35.030	35.071	35.111	35.152	35.192	35.233	35.273	35.314	840
850	35.314	35.354	35.395	35.435	35.476	35.516	35.557	35.597	35.637	35.678	35.718	850
860	35.718	35.758	35.799	35.839	35.880	35.920	35.960	36.000	36.041	36.081	36.121	860
870	36.121	36.162	36.202	36.242	36.282	36.323	36.363	36.403	36.443	36.483	36.524	870
880	36.524	36.564	36.604	36.644	36.684	36.724	36.764	36.804	36.844	36.885	36.925	880
890	36.925	36.965	37.005	37.045	37.085	37.125	37.165	37.205	37.245	37.285	37.325	890
900	37.325	37.365	37.405	37.445	37.484	37.524	37.564	37.604	37.644	37.684	37.724	900
910	37.724	37.764	37.803	37.843	37.883	37.923	37.963	38.002	38.042	38.082	38.122	910
920	38.122	38.162	38.201	38.241	38.281	38.320	38.360	38.400	38.439	38.479	38.519	920
930	38.519	38.558	38.598	38.638	38.677	38.717	38.756	38.796	38.836	38.875	38.915	930
940	38.915	38.954	38.994	39.033	39.073	39.112	39.152	39.191	39.231	39.270	39.310	940
950	39.310	39.349	39.388	39.428	39.467	39.507	39.546	39.585	39.625	39.664	39.703	950
960	39.703	39.743	39.782	39.821	39.861	39.900	39.939	39.979	40.018	40.057	40.096	960
970	40.096	40.136	40.175	40.214	40.253	40.292	40.332	40.371	40.410	40.449	40.488	970
980	40.488	40.527	40.566	40.605	40.644	40.684	40.723	40.762	40.801	40.840	40.879	980
990	40.879	40.918	40.957	40.996	41.035	41.074	41.113	41.152	41.191	41.230	41.269	990

ตาราง ก.1 (ต่อ)

EMF in Absolute Millivolts

Reference Junctions at 0 C

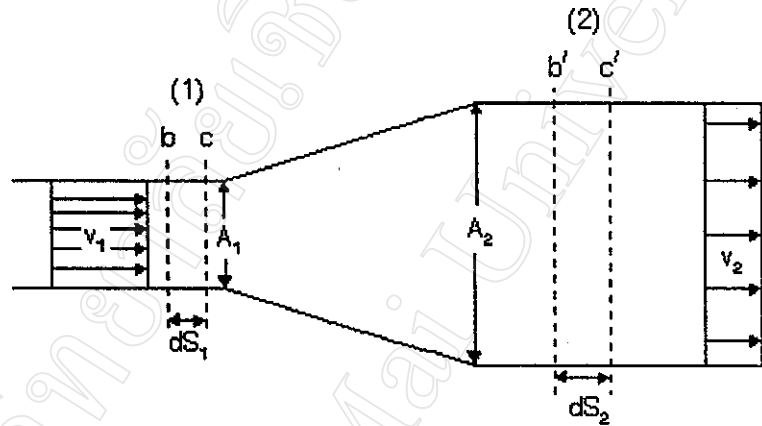
DEG C	0	1	2	3	4	5	6	7	8	9	10	DEG C
THERMOELECTRIC VOLTAGE IN ABSOLUTE MILLIVOLTS												
1.000	41.269	41.308	41.347	41.385	41.424	41.463	41.502	41.541	41.580	41.619	41.657	1.000
1.010	41.657	41.696	41.735	41.774	41.813	41.851	41.890	41.929	41.968	42.006	42.045	1.010
1.020	42.045	42.084	42.123	42.161	42.200	42.239	42.277	42.316	42.355	42.393	42.432	1.020
1.030	42.432	42.470	42.509	42.548	42.586	42.625	42.663	42.702	42.740	42.779	42.817	1.030
1.040	42.817	42.856	42.894	42.933	42.971	43.010	43.048	43.087	43.125	43.164	43.202	1.040
1.050	43.202	43.240	43.279	43.317	43.356	43.394	43.432	43.471	43.509	43.547	43.585	1.050
1.060	43.585	43.624	43.662	43.700	43.739	43.777	43.815	43.853	43.891	43.930	43.968	1.060
1.070	43.968	44.006	44.044	44.082	44.121	44.159	44.197	44.235	44.273	44.311	44.349	1.070
1.080	44.349	44.387	44.425	44.463	44.501	44.539	44.577	44.615	44.653	44.691	44.729	1.080
1.090	44.729	44.767	44.805	44.843	44.881	44.919	44.957	44.995	45.033	45.070	45.108	1.090
1.100	45.108	45.146	45.184	45.222	45.260	45.297	45.335	45.373	45.411	45.448	45.486	1.100
1.110	45.486	45.524	45.561	45.599	45.637	45.675	45.712	45.750	45.787	45.825	45.863	1.110
1.120	45.863	45.900	45.938	45.975	46.013	46.051	46.088	46.126	46.163	46.201	46.238	1.120
1.130	46.238	46.275	46.313	46.350	46.388	46.425	46.463	46.500	46.537	46.575	46.612	1.130
1.140	46.612	46.649	46.687	46.724	46.761	46.799	46.836	46.873	46.910	46.948	46.985	1.140
1.150	46.985	47.022	47.059	47.096	47.134	47.171	47.208	47.245	47.282	47.319	47.356	1.150
1.160	47.356	47.393	47.430	47.468	47.505	47.542	47.579	47.616	47.653	47.689	47.726	1.160
1.170	47.726	47.763	47.800	47.837	47.874	47.911	47.948	47.985	48.021	48.058	48.095	1.170
1.180	48.095	48.132	48.169	48.205	48.242	48.279	48.316	48.352	48.389	48.426	48.462	1.180
1.190	48.462	48.499	48.536	48.572	48.609	48.645	48.682	48.718	48.755	48.792	48.828	1.190
1.200	48.828	48.865	48.901	48.937	48.974	49.010	49.047	49.083	49.120	49.156	49.192	1.200
1.210	49.192	49.229	49.265	49.301	49.338	49.374	49.410	49.446	49.483	49.519	49.555	1.210
1.220	49.555	49.591	49.627	49.663	49.700	49.736	49.772	49.808	49.844	49.880	49.916	1.220
1.230	49.916	49.952	49.988	50.024	50.060	50.096	50.132	50.168	50.204	50.240	50.276	1.230
1.240	50.276	50.311	50.347	50.383	50.419	50.455	50.491	50.526	50.562	50.598	50.633	1.240
1.250	50.633	50.669	50.705	50.741	50.776	50.812	50.847	50.883	50.919	50.954	50.990	1.250
1.260	50.990	51.025	51.061	51.096	51.132	51.167	51.203	51.238	51.274	51.309	51.344	1.260
1.270	51.344	51.380	51.415	51.450	51.486	51.521	51.556	51.592	51.627	51.662	51.697	1.270
1.280	51.697	51.733	51.768	51.803	51.838	51.873	51.908	51.943	51.979	52.014	52.049	1.280
1.290	52.049	52.084	52.119	52.154	52.189	52.224	52.259	52.294	52.329	52.364	52.398	1.290
1.300	52.398	52.433	52.468	52.503	52.538	52.573	52.608	52.642	52.677	52.712	52.747	1.300
1.310	52.747	52.781	52.816	52.851	52.886	52.920	52.955	52.989	53.024	53.059	53.093	1.310
1.320	53.093	53.128	53.162	53.197	53.232	53.266	53.301	53.335	53.370	53.404	53.439	1.320
1.330	53.439	53.473	53.507	53.542	53.576	53.611	53.645	53.679	53.714	53.748	53.782	1.330
1.340	53.782	53.817	53.851	53.885	53.920	53.954	53.988	54.022	54.057	54.091	54.125	1.340
1.350	54.125	54.159	54.193	54.228	54.262	54.296	54.330	54.364	54.398	54.432	54.466	1.350
1.360	54.466	54.501	54.535	54.569	54.603	54.637	54.671	54.705	54.739	54.773	54.807	1.360
1.370	54.807	54.841	54.875									1.370
DEG C	0	1	2	3	4	5	6	7	8	9	10	DEG C

ภาคผนวก ข

หลักการของหลอดควบคุมอัตราไหลของแก๊ส

1. สมการความต่อเนื่อง (Equation of Continuity)⁽¹⁰⁾

สามารถศึกษาได้โดยใช้การประยุกต์หลักของการอนุรักษ์มวลที่ว่า "สตาร์สร้างขึ้นใหม่ไม่ได้และไม่มีการสูญหาย" และพิจารณาการไหลของของไหลผ่านท่อที่มีขนาดพื้นที่หน้าตัดต่างกัน



รูป ข.1 การไหลของของไหลผ่านท่อที่มีขนาดพื้นที่หน้าตัดต่างกัน

กำหนดให้ A_1, A_2 คือพื้นที่หน้าตัดของของไหล ณ ตำแหน่ง (1) และ (2)

v_1, v_2 คือความเร็วของของไหล ณ ตำแหน่ง (1) และ (2)

dS_1, dS_2 คือระยะทางที่ของไหลเคลื่อนที่ได้ ณ ตำแหน่ง (1) และ (2) ในเวลาหนึ่ง

ρ_1, ρ_2 คือความหนาแน่นของของไหล ณ ตำแหน่ง (1) และ (2)

dm_1, dm_2 คือมวลเปลี่ยนแปลงของของไหล ณ ตำแหน่ง (1) และ (2) ตามลำดับ

ถ้ามวลของของไหลเคลื่อนที่จากตำแหน่ง bb' ไปยัง cc' ในเวลา dt

จะได้ว่า

$$dm_1 = \rho_1 A_1 dS_1 \text{ และ } d\rho_1 = v_1 dt$$

$$dm_1 = \rho_1 A_1 v_1 dt$$

$$\frac{dm_1}{dt} = \rho_1 A_1 v_1 \quad \text{---(ข.1)}$$

และ

$$\begin{aligned} dm_2 &= \rho_2 A_2 dS_2 \text{ และ } d\rho_2 = v_2 t \\ dm_2 &= \rho_2 A_2 v_2 dt \\ \frac{dm_2}{dt} &= \rho_2 A_2 v_2 \quad \text{---(ข.2)} \end{aligned}$$

จากหลักของการอนุรักษ์ของมวล มวลในระบบจะต้องคงที่ นั่นคืออัตราการเปลี่ยนแปลงมวลในระบบต่อหนึ่งหน่วยเวลาจะเท่ากับศูนย์

นั่นคือ

$$\begin{aligned} \frac{dm_1}{dt} + \frac{dm_2}{dt} &= 0 \\ \frac{dm_1}{dt} &= -\frac{dm_2}{dt} \\ \rho_1 A_1 v_1 &= \rho_2 A_2 v_2 \end{aligned}$$

เนื่องจากของไหลเป็นชนิดเดียวกัน

จะได้ว่า

$$\rho_1 = \rho_2$$

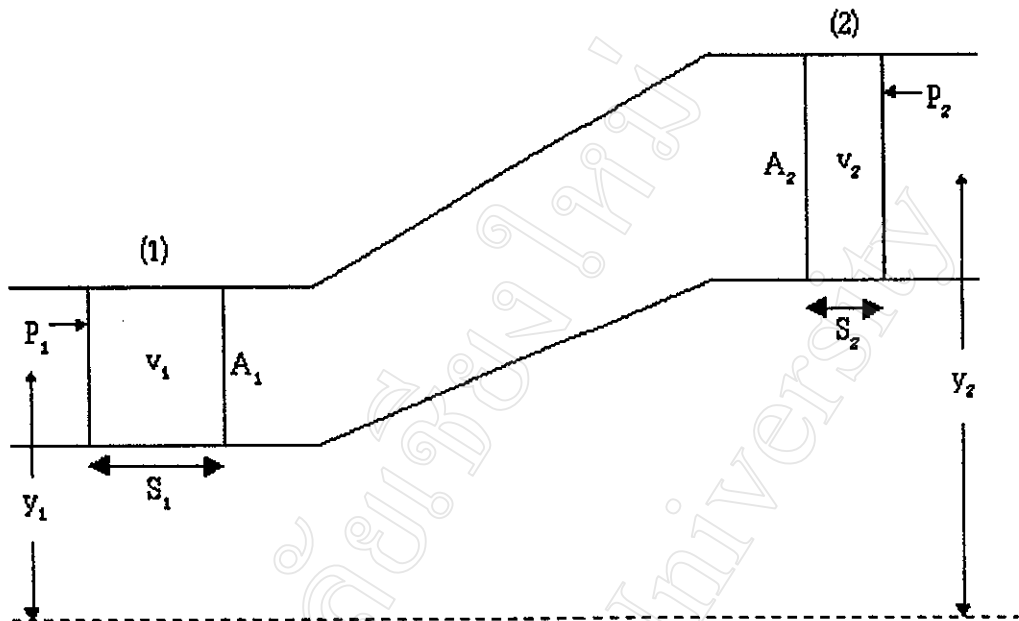
ดังนั้น

$$A_1 v_1 = A_2 v_2 \quad \text{---(ข.3)}$$

ซึ่งสมการ (ข.3) นี้เรียกว่าสมการความต่อเนื่อง

2. สมการเบอร์นูลลี (Bernoulli's Equation)⁽¹⁰⁾

พิจารณาการไหลของของเหลวที่ไหลจากตำแหน่งที่ต่ำกว่าไปยังตำแหน่งที่สูงกว่าซึ่งมีพื้นที่หน้าตัดต่างกันซึ่งทำให้ความเร็วแตกต่างกัน ดังแสดงในรูป ข.2



รูป ข.2 การไหลของของเหลวผ่านท่อที่มีขนาดต่างกันและอยู่ในระดับความสูงต่างกัน

กำหนดให้ของไหลที่ไหลจากตำแหน่งที่ (1) ไปยังตำแหน่งที่ (2) มีปริมาตรเป็น V
พิจารณางานของระบบ

$$\text{งานที่กระทำโดยแรงดัน} = P_1 A_1 S_1 - P_2 A_2 S_2$$

$$\text{งานที่กระทำเพื่อเอาชนะแรงโน้มถ่วง} = -mg(y_2 - y_1)$$

เนื่องจาก

$$\text{งานรวมทั้งหมด} = \text{การเปลี่ยนแปลงพลังงานจลน์}$$

$$P_1 A_1 S_1 - P_2 A_2 S_2 - mg(y_2 - y_1) = \frac{1}{2} m v_2^2 - \frac{1}{2} m v_1^2$$

$$P_1 A_1 S_1 + mgy_1 + \frac{1}{2} m v_1^2 = P_2 A_2 S_2 + mgy_2 + \frac{1}{2} m v_2^2 \quad \text{---(ข.4)}$$

ซึ่ง $AS = V = \frac{m}{\rho}$, เมื่อแทนค่าลงในสมการ (ข.4) จะได้

$$P_1 \frac{m}{\rho} + mgy_1 + \frac{1}{2} m v_1^2 = P_2 \frac{m}{\rho} + mgy_2 + \frac{1}{2} m v_2^2$$

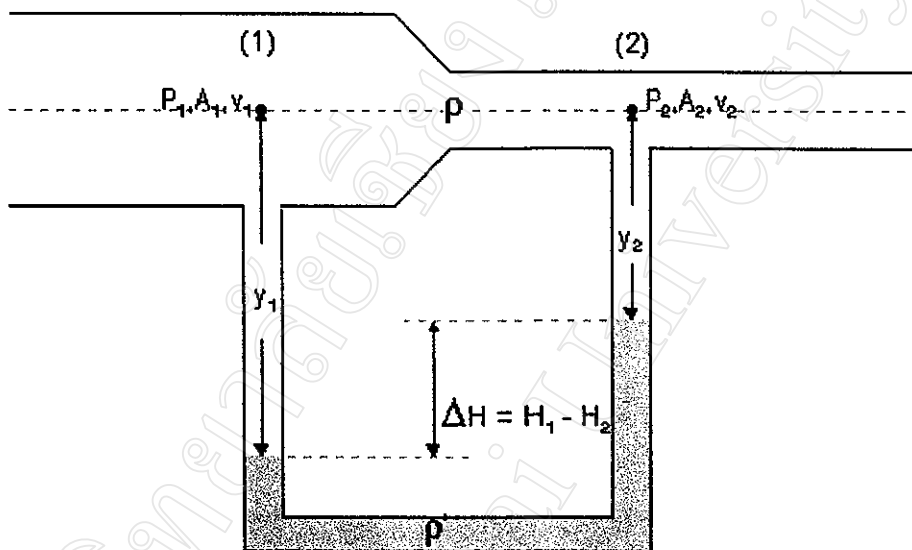
$$P_1 + \rho g y_1 + \frac{1}{2} \rho v_1^2 = P_2 + \rho g y_2 + \frac{1}{2} \rho v_2^2$$

$$\therefore P + \rho g y + \frac{1}{2} \rho v^2 = \text{ค่าคงที่} \quad \text{---(ข.5)}$$

ซึ่งสมการ (ข.5) นี้เรียกว่าสมการของเบอร์นูลลี

3. เวนทูริมิเตอร์ (Venturi meter)⁽¹⁰⁾

มีลักษณะดังแสดงในรูป ข.3



รูป ข.3 เวนทูริมิเตอร์

กำหนดให้ ความหนาแน่นของแก๊ส = ρ

ที่ตำแหน่งที่ (1); พื้นที่หน้าตัด = A_1

ความเร็วแก๊ส = v_1

ความดัน = P_1

ที่ตำแหน่งที่ (2); พื้นที่หน้าตัด = A_2

ความเร็วแก๊ส = v_2

ความดัน = P_2

พิจารณาลอดตัวยู, กำหนดให้

ความหนาแน่นของของเหลว = ρ'

ระดับความลึกของของเหลวด้านที่ (1) และ (2) = y_1 และ y_2 ตามลำดับ

ระดับความแตกต่างของสารละลายในหลอดรูปตัวยู = ΔH

จากสมการของเบอร์นูลลีจะได้ว่า

$$P_1 + \rho g y_1 + \frac{1}{2} \rho v_1^2 = P_2 + \rho g y_2 + \frac{1}{2} \rho v_2^2$$

$$P_1 + \frac{1}{2} \rho v_1^2 = P_2 + \frac{1}{2} \rho v_2^2$$

ดังนั้น

$$P_1 - P_2 = \frac{1}{2} \rho (v_2^2 - v_1^2) \quad \text{---(๑.6)}$$

ที่ระดับความลึก y_1 ของหลอดรูปตัวยูทั้งสองข้างจะมีความดันเท่ากัน
จะได้ว่า

$$P_1 + \rho g y_1 = P_2 + \rho g y_2 + \rho' g \Delta H$$

$$P_1 - P_2 = \rho' g \Delta H + \rho g y_2 - \rho g y_1$$

$$\therefore P_1 - P_2 = g \Delta H (\rho' - \rho) \quad \text{---(๑.7)}$$

ซึ่งสมการ (๑.6) = (๑.7)

$$\frac{1}{2} \rho (v_2^2 - v_1^2) = g \Delta H (\rho' - \rho)$$

$$(v_2^2 - v_1^2) = \frac{2g \Delta H (\rho' - \rho)}{\rho} \quad \text{---(๑.8)}$$

จากสมการต่อเนื่อง

$$A_1 v_1 = A_2 v_2$$

$$v_2 = \frac{A_1 v_1}{A_2}$$

แทนค่า v_2 ลงในสมการ (๑.8) ได้

$$\left(\frac{A_1 v_1}{A_2} \right)^2 - v_1^2 = \frac{2g \Delta H (\rho' - \rho)}{\rho}$$

$$v_1^2 \left(\frac{A_1^2 - A_2^2}{A_2^2} \right) = \frac{2g \Delta H (\rho' - \rho)}{\rho}$$

$$v_1^2 = \frac{2g \Delta H (\rho' - \rho)}{\rho} \cdot \left(\frac{A_2^2}{A_1^2 - A_2^2} \right)$$

$$\therefore v_1 = A_2 \sqrt{\frac{2(\rho' - \rho)g \Delta H}{\rho(A_1^2 - A_2^2)}} \quad \text{---(๑.9)}$$

กำหนดให้ Q คืออัตราการไหลของแก๊ส (flow rate)

ดังนั้น

$$Q = A_1 v_1 \quad \text{---(ข.10)}$$

แทนสมการ (ข.9) ลงในสมการ (ข.10)

จะได้

$$Q = A_1 A_2 \sqrt{\frac{2(\rho' - \rho)g\Delta H}{\rho(A_1^2 - A_2^2)}}$$

$$Q = c(\Delta H)^{1/2}; \quad c = \text{constant}$$

ดังนั้นจะได้

$$\log Q = s(\log \Delta H) + c \quad \text{---(ข.11)}$$

ซึ่งเมื่อนำสมการ (ข.11) มาสร้างกราฟจะได้กราฟเชิงเส้นดังแสดงในรูป ข.4



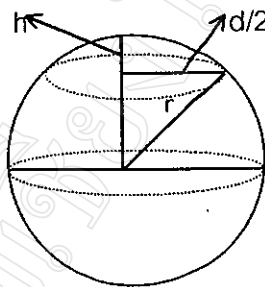
รูป ข.4 กราฟความสัมพันธ์ระหว่าง $\log Q$ กับ $\log \Delta H$

ภาคผนวก ค

ที่มาของสมการอัตราการสึกกร่อน

1. อัตราการสึกกร่อนของหัวกด (Pin volume lost)⁽⁹⁾

พิจารณาหัวกดซึ่งมีรัศมี r และมีรอยสึกขนาดเส้นผ่าศูนย์กลาง d ดังแสดงในรูป ค.1



รูป ค.1 ลักษณะหัวกดที่สึกกร่อน

จากรูป ค.1 จะได้ว่า

$$\begin{aligned} r - h &= \left[r^2 - \left(\frac{d}{2} \right)^2 \right]^{1/2} \\ h &= r - \left[r^2 - \left(\frac{d}{2} \right)^2 \right]^{1/2} \\ h &= r - \left[r^2 - \left(\frac{d^2}{4} \right) \right]^{1/2} \quad \text{---(ค.1)} \end{aligned}$$

เมื่อกำหนดให้ h' = ความลึกขนาดเล็ก ๆ และ d' = เส้นผ่าศูนย์กลางขนาดเล็ก ๆ จะได้ว่าปริมาตรที่สูญเสียไปเมื่อเกิดการสึกเป็นระยะ dh' มีค่าเป็น

$$dV = A dh' \quad \text{---(ค.2)}$$

$$A = \pi \left(\frac{d'}{2} \right)^2$$

$$\left(\frac{d'}{2} \right)^2 = r^2 - (r - h')^2$$

$$\therefore A = \pi \left[r^2 - (r - h')^2 \right] \quad \text{---(ค.3)}$$

แทน (ค.3) ใน (ค.2) แล้วอินทิเกรตจะได้ว่า

$$V = \int_0^h \pi \left[r^2 - (r - h')^2 \right] dh'$$

$$V = \pi \left[rh^2 - \frac{h^3}{3} \right] \quad \text{---(ค.4)}$$

และจาก (ค.1) จะได้

$$r = h + \left[r^2 - \left(\frac{d^2}{4} \right) \right]^{1/2} \quad \text{---(ค.5)}$$

นำ (ค.5) แทนใน (ค.4) จะได้ว่า

$$\begin{aligned} V &= \pi \left[\left\{ h + \left(r^2 - \frac{d^2}{4} \right)^{1/2} \right\} h^2 - \frac{h^3}{3} \right] \\ V &= \pi \left[\frac{2h^3}{3} + h^2(r-h) \right] \\ V &= \pi \left[\frac{2h^3}{3} + h(rh - h^2) \right] \\ V &= \frac{\pi h}{6} \left(h^2 + \frac{3d^2}{4} \right) \quad \text{---(ค.6)} \end{aligned}$$

เนื่องจากในทางปฏิบัติไม่สามารถวัดความความลึกของรอยสึกได้ ดังนั้นจึงต้องพยายามกำจัด h ออกจากสมการที่ (ค.6) ดังต่อไปนี้

$$\text{จากสมการที่ (ค.1) } h = r - \left[r^2 - \left(\frac{d^2}{4} \right) \right]^{1/2}$$

แทน (ค.1) ใน (ค.6) จะได้ว่า

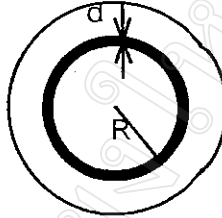
$$\begin{aligned} V &= \frac{\pi}{6} \left[r - \left(r^2 - \frac{d^2}{4} \right)^{1/2} \right] \left[\frac{3d^2}{4} + \left\{ r - \left(r^2 - \frac{d^2}{4} \right)^{1/2} \right\}^2 \right] \\ V &= \frac{\pi}{6} \left[r - r \left(1 - \frac{d^2}{4r^2} \right)^{1/2} \right] \left[\frac{3d^2}{4} + 2r^2 - \frac{d^2}{4} - 2r \left(r^2 - \frac{d^2}{4} \right)^{1/2} \right] \\ V &= \frac{\pi}{6} \left[r - r \left(1 - \frac{d^2}{8r^2} \dots \right) \right] \left[\frac{d^2}{2} + 2r^2 - 2r^2 \left(1 - \frac{d^2}{8r^2} \dots \right) \right] \\ V &= \frac{\pi}{6} \left(\frac{d^2}{8r} \right) \left(\frac{3d^2}{4} \right) \\ \therefore V &= \frac{\pi d^4}{64r} \quad \text{---(ค.7)} \end{aligned}$$

ซึ่งก็คือสมการอัตราการสึกกร่อนของหัวกด

$$\text{Pin volume loss} = \frac{\pi (\text{wear scar diameter, mm})^4}{64 (\text{sphere radius, mm})} \quad \text{---(ค.8)}$$

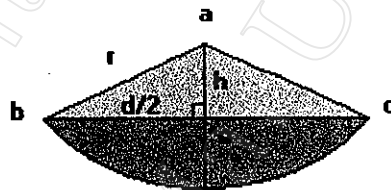
2. อัตราการสึกกร่อนของตัวอย่างทดสอบ (Disk volume lost)⁽⁹⁾

พิจารณาตัวอย่างทดสอบซึ่งมีรัศมีรอยลึก R และมีความกว้างรอยลึก d ซึ่งเกิดจากหัวกดรัศมี r ดังแสดงในรูป ค.2



รูป ค.2 ลักษณะตัวอย่างทดสอบที่สึกกร่อน

พิจารณาภาพตัดขวางของรอยลึกในรูป ค.3



รูป ค.3 ภาพตัดขวางรอยลึกบนตัวอย่างทดสอบ

กำหนดให้ พื้นที่ส่วนที่แรเงาทั้งหมด = X, พื้นที่แรเงาสีเข้ม = A, มุม bac = α

$$\begin{aligned} \text{จะได้ว่า } X &= \frac{\alpha \pi r^2}{2\pi} \\ \sin\left(\frac{\alpha}{2}\right) &= \frac{d}{2r} \\ \frac{\alpha}{2} &= \sin^{-1}\left(\frac{d}{2r}\right) \end{aligned}$$

$$\therefore X = r^2 \sin^{-1}\left(\frac{d}{2r}\right) \quad \text{---(ค.9)}$$

แต่พื้นที่ส่วนที่ต้องการหา คือ A ดังนั้นจะต้องหาพื้นที่ของสามเหลี่ยม abc เพื่อที่จะนำไปลบออกจาก พื้นที่ X

พิจารณา Δabc

$$\text{พื้นที่ } \Delta abc = \frac{1}{2} \times d \times h$$

จากรูป ค.3 จะได้ว่า

$$r^2 = h^2 + \left(\frac{d}{2}\right)^2$$

$$h^2 = r^2 - \left(\frac{d}{2}\right)^2$$

$$h = \left[r^2 - \left(\frac{d^2}{4}\right) \right]^{1/2}$$

$$\therefore \text{พื้นที่ } \Delta_{abc} = \frac{d}{4} (4r^2 - d^2)^{1/2} \quad \text{---(ค.10)}$$

นำสมการ (ค.10) ลงสมการ (ค.9) จะได้ว่า

$$A = \left[r^2 \sin^{-1}\left(\frac{d}{2r}\right) - \frac{d}{4} (4r^2 - d^2)^{1/2} \right]$$

$$\therefore \text{Disk volume loss} = 2\pi R \left[r^2 \sin^{-1}\left(\frac{d}{2r}\right) - \frac{d}{4} (4r^2 - d^2)^{1/2} \right] \quad \text{---(ค.11)}$$

จะเห็นว่าสมการ (ค.11) อยู่ในรูปที่ยากต่อการคำนวณหาปริมาตรที่สูญเสีย ดังนั้นจึงจะทำให้อยู่ในรูปที่ง่ายขึ้น ซึ่งจะได้ว่า

$$\text{Disk volume loss} = 2\pi R \left[r^2 \sin^{-1}\left(\frac{d}{2r}\right) - \frac{d}{4} (4r^2 - d^2)^{1/2} \right]$$

เนื่องจาก

$$\begin{aligned} \frac{d}{4} (4r^2 - d^2)^{1/2} &= \frac{dr}{2} \left(1 - \frac{d^2}{4d^2} \right)^{1/2} \\ &= \frac{dr}{2} \left(1 - \frac{d^2}{8r^2} \dots \right); r \gg d \\ &= \frac{dr}{2} - \frac{d^3}{16r} \end{aligned}$$

และ

$$\begin{aligned} r^2 \sin^{-1}\left(\frac{d}{2r}\right) &= r^2 \left[\frac{d}{2r} + \frac{d^3}{48r^3} \right] \\ &= \left[\frac{dr}{2} + \frac{d^3}{48r} \right] \end{aligned}$$

จากสมการ (ค.11) จะได้ว่า

$$\begin{aligned} \text{Disk volume loss} &= 2\pi R \left[\frac{dr}{2} + \frac{d^3}{48r} - \frac{dr}{2} + \frac{d^3}{16r} \right] \\ &= \frac{\pi R d^3}{6r} \end{aligned}$$

$$\therefore \text{Disk volume loss} = \frac{\pi (\text{wear track radius}) (\text{track width})^3}{6 (\text{sphere radius})} \quad \text{---(ค.12)}$$

มหาวิทยาลัยเทคโนโลยีพระจอมเกล้า
Chiang Mai University

ภาคผนวก ง

ตารางผลการทดลอง

ตาราง ง.1 ผลการหาอัตราการไหลของแก๊สแอมโมเนีย

ΔH (cm)	$\log(\Delta H, \text{cm})$	Q (cm ³ /s)	$\log(Q, \text{cm}^3/\text{s})$
60.95	1.78	10.99	1.04
56.80	1.75	10.68	1.03
52.85	1.72	9.87	0.99
48.15	1.68	9.39	0.97
45.60	1.66	7.20	0.86
41.50	1.62	7.22	0.86
37.30	1.57	6.84	0.84
33.15	1.52	5.25	0.72
29.20	1.46	4.69	0.67
25.15	1.4	3.59	0.56
21.20	1.33	2.91	0.46

ตาราง ง.2 ผลความแข็งนูนของ RDC 2V ที่สภาวะต่าง ๆ กับเวลาในการไนไตรด์

Nitriding time (h)	HK					
	Nitrided					Non-nitrided
	500 K	600 K	700 K	800 K	900 K	
5	323.3	566.2	1019.2	845.2	508.8	238.5
10	328.6	769.8	769.7	667.2	429.5	238.5
15	323.1	687.8	563.2	441.4	407.8	238.5
20	366.0	648.8	478.2	427.8	404.9	238.5
30	323.8	651.3	423	385.3	374.9	238.5
40	332.9	528.8	335.9	307.6	284.5	238.5

ตาราง ง.3 ผลความแข็งนูนของ RPG 3 ที่สภาวะต่าง ๆ กับเวลาในการไนไตรต์

Nitriding time (h)	HK					
	Nitrided					Non-nitrided
	500 K	600 K	700 K	800 K	900 K	
5	306.6	355.0	735.1	427.7	445.0	257
10	344.7	444.5	538.9	354.8	367.9	257
15	330.4	455.9	406.9	353.5	342.9	257
20	331.4	506.5	424.1	280.9	334.5	257
30	334.7	511.5	327.5	336.2	290.1	257
40	342.0	416.7	295.0	293.5	233.2	257

ตาราง ง.4 ผลมวลที่เปลี่ยนแปลงต่อพื้นที่ของ RDC 2V ที่สภาวะต่าง ๆ กับเวลาในการไนไตรต์

Nitriding time (h)	$\Delta m/A$ ($\times 10^{-3}$ g/cm ²)				
	500 K	600 K	700 K	800 K	900 K
0	0.0000	0.0000	0.0000	0.0000	0.0000
5	0.0490	0.1740	0.7107	1.8510	4.3580
10	0.0000	0.3480	0.9392	2.5560	5.7920
15	0.0740	0.3230	1.1930	3.0630	6.2710
20	0.0250	0.3480	1.1420	3.1070	6.8550
30	0.0740	0.3730	1.4470	3.8350	7.1740
40	0.0490	0.4470	1.7010	4.4520	7.4490

ตาราง ง.5 ผลมวลที่เปลี่ยนแปลงต่อพื้นที่ของ RPG 3 ที่สภาวะต่าง ๆ กับเวลาในการไนไตรด์

Nitriding time (h)	$\Delta m/A$ ($\times 10^{-3} \text{ g/cm}^2$)				
	500 K	600 K	700 K	800 K	900 K
0	0.0000	0.0000	0.0000	0.0000	0.0000
5	0.0770	0.0000	0.2900	1.1380	2.4600
10	0.0380	0.1820	0.4145	1.5850	2.7500
15	0.0380	0.1460	0.6218	1.6660	2.5000
20	0.0000	0.1090	0.6218	1.9100	3.3700
30	0.0000	0.2190	0.5800	1.9500	4.0400
40	0.0000	0.2550	0.7460	1.9900	4.0100

ตาราง ง.6 ผลความหนาของชั้นไนไตรด์กับอุณหภูมิในการไนไตรด์ของเหล็กกล้า RDC 2V และ RPG 3

Steel	Thickness of Nitrided layer (μm)				
	500 K	600 K	700 K	800 K	900 K
RDC 2V	0.0	0.0	2.2	4.4	5.3
RPG 3	2.8	3.1	4.2	6.1	7.7

